

التدريم الزلزالي للمنشآت المسلحة بجدران قص خارجية

*** * أ.سامة سالم

* أ.د.م عبدالرزاق سالم

* أ.د.م إحسان الطرشة

(الإيداع: 3 كانون الأول 2018، القبول: 31 كانون الأول 2018)

الملخص:

إن معظم الأبنية القائمة في سوريا لا تحقق الاشتراطات التصميمية الخاصة مقاومة الأحمال الزلزالية، لذلك قد تكون عرضة لجملة من الأضرار الخطيرة التي قد تصل لحد الانهيار، وللحذر من الخطر الزلزالي لابد من إعادة تأهيل المبني القائمة ليتم تقويتها وتدعمها لزيادة قدرة تحملها للأفعال الزلزالية، وبالتالي تخفيف الأضرار المادية والبشرية، وتناولت هذه الدراسة طريقة التدريم بإضافة جدران قص خارجية، حيث تم تحليل 54 نموذج بمتغيرات عده (الارتفاع الطابقي، المنطقة الزلزالية، تربة التأسيس) ، وتم التحليل ببرنامج ETABS بالطريقتين الستاتيكية المكافحة والдинاميكية (طريقة طيف الاستجابة) وتمت مناقشة النتائج وتحليلها (القص القاعدي، الدور، الانتقالات الطابقية الكلية، الانزياحات الطابقية النسبية، نسبة إشغال جدار القص لواجهة البناء)، وأظهرت الدراسة فعالية التدريم بجدران قص خارجية حيث تزيد من الصلابة الجانبية بشكل كبير نسبياً، ويصبح المنشأ قادرًا على مقاومة الأحمال الزلزالية والحد من الأضرار الناتجة عن الزلزال ومنع انهيار المبني.

الكلمات المفتاحية: تدريم، القص القاعدي، الانتقال الطابقي، جدران قص خارجية، منشآت بيتونية.

* أستاذ في قسم الهندسة الإنسانية - كلية الهندسة المدنية - جامعة البعث

* أستاذ في قسم الهندسة الإنسانية - كلية الهندسة المدنية - جامعة حماه

** طالب ماجستير في الهندسة الإنسانية - جامعة البعث

Seismic strengthening of R.C structures with exterior shear walls

Osama Salem

Prof .Dr. Ihssan Tarsha

Prof. Dr. Abdul razzak Salem

(Received: 3 December 2018, Accepted: 31 December 2018)

Abstract:

Most of the existing buildings in Syria, may not meet the seismic design requirements. They may be subjected to a range of serious damage that may reach the point of collapse. To reduce seismic danger, existing buildings must be repaired and strengthened to increase their resistance for seismic acts, and thus to reduction physical and human damage.

In this study, method of strengthening by adding external shear walls was carried out, 54 models with several variables (the rise of the phase, seismic zone, foundation soil) were analyzed .

The analysis was done by the ETABS program according to the static method and the dynamic method (the response spectrum method) and then the results were discussed and analyzed (base shear, period, total floor displacements, relative floor displacements, the occupancy rate of the shear wall)..

The study showed the effectiveness of the strengthening by external shear walls, which increase the lateral stiffness so the building becomes able to resist the seismic forces and thus reduce the damage caused by earthquakes and prevent any kind of collapse.

Keywords: strengthening, base shear, story drift, concrete structures, exterior shear wall

1 - مقدمة:

إن معظم المنشآت القائمة في سوريا التي لا تحقق الاستراتيجيات التصميمية الخاصة مقاومة الأحمال الزلزالية، قد تكون عرضة لجملة من الأضرار الخطيرة التي قد تصل لحد الانهيار، وللحذر من الخطر الزلزالي لابد من إعادة تأهيل المنشآت القائمة حيث يتم تقويتها وتدعمها بهدف زيادة قدرة تحملها للأفعال الزلزالية، وبالتالي تخفيف الأضرار المادية والبشرية، إن عملية تحديد القدرة الفعلية وبين العيوب والتواصص في المنشآت القائمة أمر هام وضروري لتحديد أسلوب وتقنية إعادة التأهيل ، في الواقع يهدف تقويم وتأهيل المنشآت القائمة لمقاومة الأفعال الزلزالية لتجنب الانهيار الشامل أو الجزئي بما يحفظ السلامة ويخفف من الأضرار في العناصر الإنسانية وغير الإنسانية أثناء وبعد الزلزال.

الدراسة مرجعية:

قام (M. Y. Kaltakci, M. Ozturk, and M. H. Arslan) [1] بإجراء بحث تجاري لمعرفة فعالية التدعيم بجدار قص خارجي للمبني في المناطق المعرضة للزلزال، تم اختبار 7 نماذج قسمت لمجموعتين، الأولى: وضع جدار القص بشكل ملاصد للإطار الخارجي، الثانية: وضع جدار القص بعيد عن الإطار مع إضافة روابط لتؤمن الاتصال بين الجملتين، أظهرت النتائج زيادة مقاومةقوى الجانبية والصلابة الأولية والقدرة على تبديد الطاقة للنماذج المدعمة.

أجرى كلا من (Josh LOMBARD, David T LAU, Jag L HUMAR, Simon FOO And M S CHEUNG) [2] دراسة لجدى فعالية استخدام شرائح من ألياف FPR بالاتجاه الشاقولي أو الأفقي على الوجه الخارجي لجدران القص البيتونية المسلحة لمقاومة الزلزال ، وتم استخدام 4 نماذج في الدراسة (جدار مرجعي -جدار متضرر-جدار مدعم بشريحة شاقولية من ألياف FPR على وجهين الجدار - جدار مدعم بشريحة أفقية وشريحتين شاقوليتيين من ألياف FPR على وجهين الجدار) ، وأوضحت النتائج بأن تقنية تدعيم جدران القص باستخدام شرائح الـ FPR فعالة للتدعيم الزلزالي لجدران القص البيتونية المسلحة وذات كلفة منخفضة مقارنة بباقي طرق التدعيم التقليدية كما أنها تساعد في إصلاح جدران القص التي تعرضت لأضرار نتيجة الزلزال ، ومن مساوى الطريقة من التدعيم أنها بحاجة لتفريغ المنشآة وخاصة بالمنشآت التي تحتوي جدران قص قديمة.

عرض كلا من (HASAN KAPLAN, SALIH YILMAZ, NIHAT CETINKAYA and ERGIN ATIMTAY) [3] دراسة طريقة جديدة للتدعيم المنشآت البيتونية المسلحة لمقاومة الزلزال بإضافة جدران قص خارجية، وأجريت الاختبارات على نموذجين، الأول عبارة عن نموذج مرجعي (RM)، والثاني النموذج المدعم (SM)، ووُجد من الدراسة أن استخدام جدران القص الخارجية في تدعيم المنشآت يساعدهم إلى حد كبير برفع قدرة وصلابة المنشآت البيتونية المسلحة بالإضافة إلى رفع قدرتها في مقاومة الزلزال.

ناقش الباحثون (Yuriko HATTORI, Yasutoshi YAMAMOTO, Tadaki KOH) [4] طريقة تدعيم المبني البيتونية المتوسطة الارتفاع، بإضافة عناصر بيتونية خارجية تحتوي على صفائح معدنية لرفع كفاءة المبني لمقاومة الزلزال، حيث تم وضع ثلاثة نماذج إطارية بفتحة واحدة وطبقتين، نموذج بيتوني بدون تدعيم ونموذجين مدعمين. هذه الطريقة من التدعيم تحتاج ل زمن أقل من غيرها ويسمح بمواصلة استثمار المنشأ خلال فترة التدعيم وتحسين الصلاية الجانبية، والقوة، الليونة الشاملة وقدرة تبديد الطاقة، اقتصرت الدراسة على نموذج محدود.

بين الباحثون (C.A. Cruz-Noguez, D.T. Lau & E. Sherwood) [5] النتائج التجريبية و التحليلية الأولية لدراسة شاملة لجدران القص البيتونية المسلحة التي تم ترميمها وتقويتها باستخدام صفائح البوليمر المقوى بالألياف (FRP) ، أجريت الاختبارات على 9 جدران وتم استخدام نظام ثبيت مبتكر لنقل الحمولات من صفائح FRP لأساسات الجدران المدعمة ، وأظهرت النتائج أن التدعيم بصفائح (FRP) يزيد من مقاومة الجدار للانعطاف ويزيد من صلابة الجدران المتضررة و بينت المحاكاة العددية أن طريقة

التدعم بواسطة صفائح FRP المنفذة بشكل أفقى يمكن أن تزيد من استجابة الجدران الغير لدننة وضعيفة على مقاومة القص من خلال منع حدوث الانهيار بسبب القص.

أجرى الباحثون (Chao-Hsun Huang, Min-Lang Lin and Wei-Hong Chen) [6] دراسة لتدعم الأعمدة البيتونية بتطبيقاتها بقميص بيتوني لزيادة مقاومتها على الزلزال، و يتم تقوية الأعمدة دون تقوية الجوائز المرتبطة بهذه الأعمدة، تقوم الأعمدة الداعمة على مقاومة الحمل الجانبي بشكل منفرد مما يجعل هذه التقنية أقل فعالية. في هذه الدراسة، تم إجراء تعديل بإضافة جواائز إضافية بين الأعمدة المطوقة المجاورة لتأمين مقاومة عزوم إضافية في العقد عمود-جائز، حيث بينت النتائج ازدياد مقاومة القوى الجانبية للإطار بشكل ملحوظ، مما يساعد على تحسين كل من استقرار المبنى وفعالية الأعمدة المطوقة خلال الزلزال المحتملة.

قامت (د.م ميادة كوسا) [9] بمقارنة السلوك الزلالي للإطارات البيتونية المسلحة المقواة بشبكات تربیط معدنية أو بإضافة جدران قص ، وقد أظهرت الدراسة أهمية استخدام شبكات التربیط في الأنظمة الإنشائية المستخدمة لتدعم مقاومة الأحمال الزلالية، حيث تميز بانها تزيد صلابة المبنى دون أن تسبب زيادة كبيرة في الوزن، وبالتالي عدم تأثيرها على الأساسات وكذلك دون أن تؤثر على الوظيفة المعمارية، كما ان لها دور مهم في تبديد الطاقة ، ويوضح من الدراسة التحليلية ان التدعيم باستخدام شبكات تربیط بشكل X هو الأفضل، حيث أنه يزيد القساوة النسبية ويقلل من الانزياحات الطابقية دون زيادة كبيرة على وزن المنشأ.

2 - مشكلة البحث:

وجود عدد كبير من المنشآت القائمة والمصممة فقط على الأحمال الشاقولية دون الأخذ بالاعتبار الأحمال الأفقيّة الناتجة عن الزلزال وعدم تحقيقها لمتطلبات التصميم الزلالي وبالتالي تكون عرضة لجملة من الأضرار الخطيرة، وللحذر من الخطر الزلالي يجب تدعيم المنشآت بهدف زيادة قدرة تحملها للأفعال الزلالية.

3 - الهدف من البحث:

تدعم المنشآت غير المدروسة زلاليًا بطريقة ذات كفاءة عالية ودون إزعاج مستثمري المنشأ عن طريق إضافة جدران قص خارجية، وبالتالي منع انهيار الأبنية والحد من الأضرار الناتجة عن الزلزال.

4 - فرضيات البحث:

تم تقسيم النماذج الإنشائية المدروسة إلى ثلاثة مجموعات، وإحدى هذه المجموعات:

- **المجموعة الأولى (A1 إلى A18):** تضم 18 نموذجاً جميع النماذج بارتفاع 4 طوابق، ذات مسقط معماري واحد ، تختلف عن بعضها البعض بالمنطقة الزلالية(C,3,2)، وتربة التأسيس(S_B,S_C,S_D).

الجدول رقم (1): مواصفات المجموعة الأولى من النماذج.

رقم النموذج	المنطقة الزلزالية	نوع التربة	التحليل	ملاحظات
A1	Z=0.3	SB		بدون تدعيم
A2	Z=0.3	SB	ستاتيكي	مدعم
A3	Z=0.3	SB	ديناميكي	مدعم
A4	Z=0.25	SB		بدون تدعيم
A5	Z=0.25	SB	ستاتيكي	مدعم
A6	Z=0.25	SB	ديناميكي	مدعم
A7	Z=0.3	SC		بدون تدعيم
A8	Z=0.3	SC	ستاتيكي	مدعم
A9	Z=0.3	SC	ديناميكي	مدعم
A10	Z=0.25	SC		بدون تدعيم
A11	Z=0.25	SC	ستاتيكي	مدعم
A12	Z=0.25	SC	ديناميكي	مدعم
A13	Z=0.3	SD		بدون تدعيم
A14	Z=0.3	SD	ستاتيكي	مدعم
A15	Z=0.3	SD	ديناميكي	مدعم
A16	Z=0.25	SD		بدون تدعيم
A17	Z=0.25	SD	ستاتيكي	مدعم
A18	Z=0.25	SD	ديناميكي	مدعم

5-خطوات التحليل:

- 1- نمذجة النموذج باستخدام برنامج ETABS [8]، وتشمل كافة العناصر من بلاطات وجوانز وأعمدة وجدران قص كما في الشكل (1) وللذان يوضحان شكل النموذج رقم A3 من المجموعة الأولى.
- 2- تحليل النموذج حسب الطريقة статистическая المكافحة [10].
- 3- تحليل النموذج تحليلاً ديناميكياً باستخدام طريقة طيف الاستجابة.
- 4- تصميم العناصر الإنسانية حسب الكود الموحد للبناء UBC 97 [7] وإدخال قيم التسليح في مقاطع العناصر.
- 5- إجراء المعايرات اللازمة (اللامركزية، عدم الانظام بأشكاله، الانتقالات).
- 6- مناقشة النتائج وتشمل قوة القص القاعدي، الدور، الانتقالات الطابقية الكلية، الانزياحات الطابقية النسبية، نسبة إشغال الواجهة.

6- نتائج تحليل النماذج (A1, A2, A3):

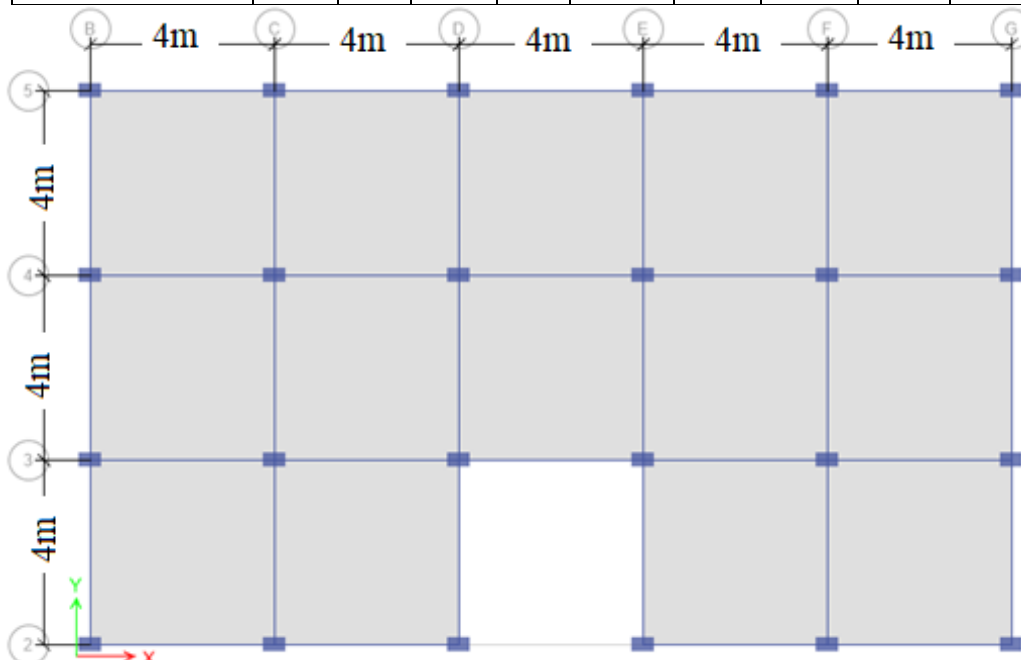
تم تحليل ثلاثة نماذج وهي عبارة عن نموذج بدون تدعيم (A1) ونموذج مدعم وتم تحليله وفق الطريقة статистическая المكافحة (A2) ونموذج مدعم وتم تحليله وفق الطريقة الديناميكية طريقة طيف الاستجابة (A3) وجميع النماذج لها نفس المسقط المعماري. إن مسقط المبني المختار للدراسة له شكل مستطيل، ويتألف من ثلاثة فتحات بالاتجاه y وخمسة فتحات بالاتجاه X كما في الشكل (1) والشكل (2)، والتبعاد بين الفتحات في الاتجاهين 4 متر وعدد الطوابق في هذا النموذج 4

والارتفاع الطابقي لجميع الطوابق 3.25m، وتم اعتماد الجملة المقاومة للزلزال جدارين قص في الاتجاه Y وجدران في الاتجاه X. يتعرض المبنى لحمولاتٍ موزعةٍ مطبقة على بلاطاتٍ دائمة 3.5KN/m^2 وحية 2KN/m^2 ، بالإضافة للوزن الذاتي للعناصر حيث يحسب تلقائياً في البرنامج واعتبار أن الجملة المقاومة للزلزال هي جدران قص فقط ومعامل الأهمية ($I=1$).

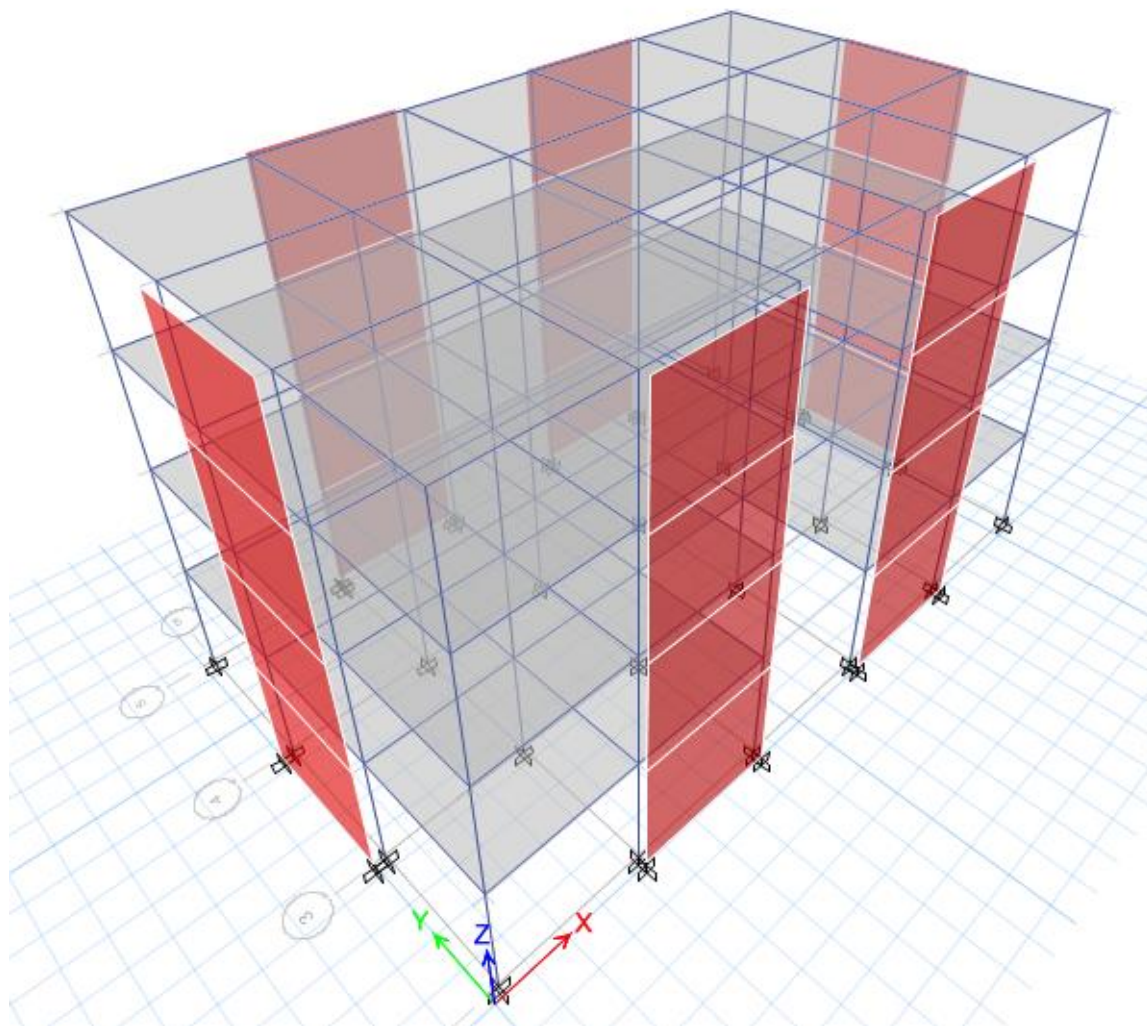
المقاومة الأسطوانية المميزة للبيتون المستخدم في الأعمدة والجوازات والبلاطات ($f_c = 20 \text{ MPa}$) وللبيتون المستخدم في جدران القص ($f_c = 25 \text{ MPa}$)

حد الخصوص لفولاذ التسليح الطولي ($f_{yc} = 240 \text{Mpa}$) ولفولاذ التسليح العرضي ($f_y = 400 \text{Mpa}$)

الجدول رقم(2): مواصفات العناصر المستخدمة في النماذج A1,A2,A3



الشكل رقم(1): مسقط النموذج المدروس



الشكل رقم (2): تمثيل ثلثي الأبعاد للنموذج باستخدام برنامج ETABS 2016

بعد القيام بالتحليل والمعايير اللازمة (اللامركزية، عدم الانظام بأشكاله، الانتقالات) كان الدور الأساسي وقوة القص القاعدي في النماذج كما هو مبين في الجدول (3):

الجدول رقم (3): قيم الدور وقوة القص القاعدي في النماذج A1, A2, A3 وفق برنامج ETABS.

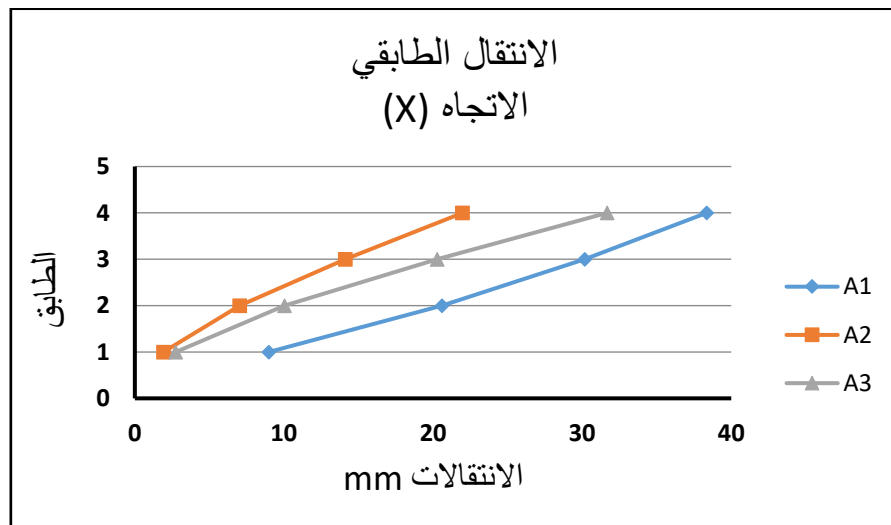
النموذج	الاتجاه	الدور الأساسي (Sec)	قوة القص القاعدي (kN)
A1	X	1.423	1209
	Y	3.033	1209
A2	X	0.714	1367.107
	Y	0.754	1367.107
A3	X	0.715	1369.5513
	Y	0.756	1365.1176

- انخفض الدور الأساسي في النماذج المدعمة في الاتجاه X بنسبة 50% عن النموذج غير المدعم.
- انخفض الدور الأساسي في النماذج المدعمة في الاتجاه Y بنسبة 75% عن النموذج غير المدعم.
- ازدادت قوة القص القاعدي في النماذج المدعمة بنسبة 11.5% عن النموذج غير المدعم.

يبين الجدول (4) قيم الانتقالات الطابقية الكلية في النماذج الثلاثة وفي الاتجاهين X,Y .ETABS .الجدول رقم (4): الانتقال الطابقي للنماذج A1،A2,A3 وفق برنامج

الانقال الطابقي mm						الطابق	
الاتجاه Y			الاتجاه X				
A3	A2	A1	A3	A2	A1		
34.575	23.179	127.63	31.68	21.984	38.353	4	
22.308	15.008	101.347	20.272	14.125	30.174	3	
11.254	7.589	65.888	10.042	7.025	20.61	2	
3.237	2.167	25.94	2.742	1.916	8.987	1	

يبين الشكل (3) الانتقال الطابقي في النماذج A1،A2,A3 بالاتجاه X:

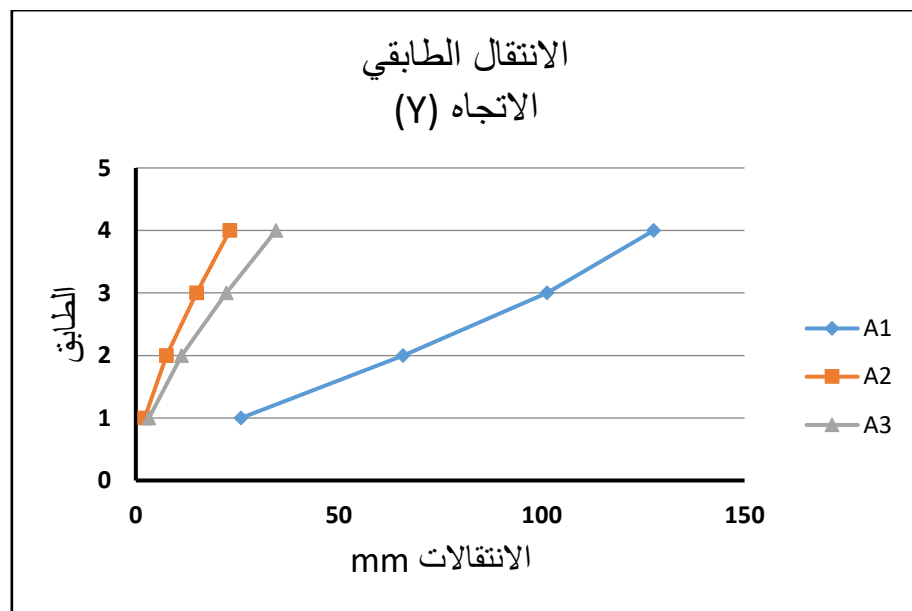


الشكل رقم (3): الانتقال الطابقي في الاتجاه X في النماذج A1،A2,A3.

انخفاض في النموذج A2 الانتقال الطابقي بنسبة 42.6% عن الانتقال الطابقي في النموذج A1.

وانخفض في النموذج A3 الانتقال الطابقي بنسبة 17.4% عن الانتقال الطابقي في النموذج A1.

يبين الشكل (4) الانتقال الطابقي في النماذج A1，A2,A3 بالاتجاه Y :



الشكل رقم (4): الانتحال الطابقي في الاتجاه Y بين النماذج A1، A2، A3.

- الانتحال الطابقي في الاتجاه Y:

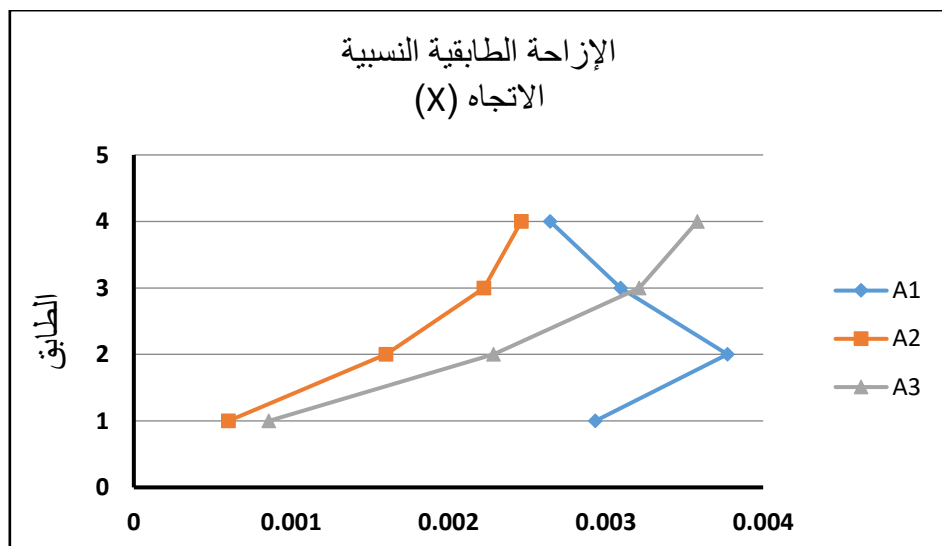
انخفاض في النموذج A2 الانتحال الطابقي بنسبة 81.7% عن الانتحال الطابقي في النموذج A1.

وانخفض في النموذج A3 الانتحال الطابقي بنسبة 73% عن الانتحال الطابقي في النموذج A1.

يبين الجدول (5) الانزياحات الطابقية النسبية للنماذج A1، A2، A3 وفي الاتجاهين X, Y :

الجدول رقم (5): الانزياحات الطابقية النسبية للنماذج A1، A2، A3 وفق برنامج ETABS.

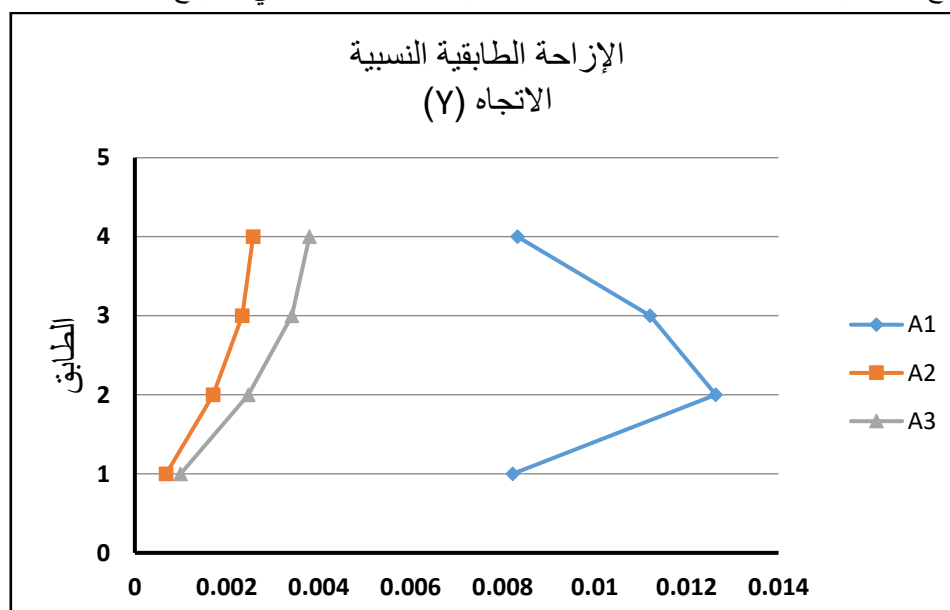
الازاحة الطابقية النسبية						الطابق	
الاتجاه Y			الاتجاه X				
A3	A2	A1	A3	A2	A1		
0.003797	0.002572	0.008321	0.003582	0.002463	0.002646	4	
0.00342	0.002335	0.011206	0.003212	0.002226	0.003095	3	
0.002473	0.001707	0.012635	0.002287	0.001602	0.003773	2	
0.000996	0.000682	0.008218	0.000858	0.000602	0.002933	1	



الشكل رقم (5): مقارنة الازاحة الطابقية النسبية في الاتجاه X بين النماذج A1,A2,A3.

- الازاحة الطابقية النسبية في الاتجاه X:

- انخفضت في النموذج A2 الازاحة الطابقية النسبية بنسبة 7% عن الازاحة الطابقية النسبية في النموذج A1.
- وأزالت في النموذج A3 الازاحة الطابقية النسبية بنسبة 26% عن الازاحة الطابقية النسبية في النموذج A1.



الشكل رقم (6): مقارنة الازاحة الطابقية النسبية في الاتجاه Y بين النماذج A1,A2,A3.

- الازاحة الطابقية النسبية في الاتجاه Y:

- انخفضت في النموذج A2 الازاحة الطابقية النسبية بنسبة 70% عن الازاحة الطابقية النسبية في النموذج A1.
- وانخفضت في النموذج A3 الازاحة الطابقية النسبية بنسبة 54% عن الازاحة الطابقية النسبية في النموذج A1.

7- النتائج:

في هذه الدراسة تم إجراء تحليل لعدة نماذج مختلفة لمنطقة الزلزالية ونوع التربة، حيث تم تدعيم هذه النماذج بواسطة جدران قص خارجية.

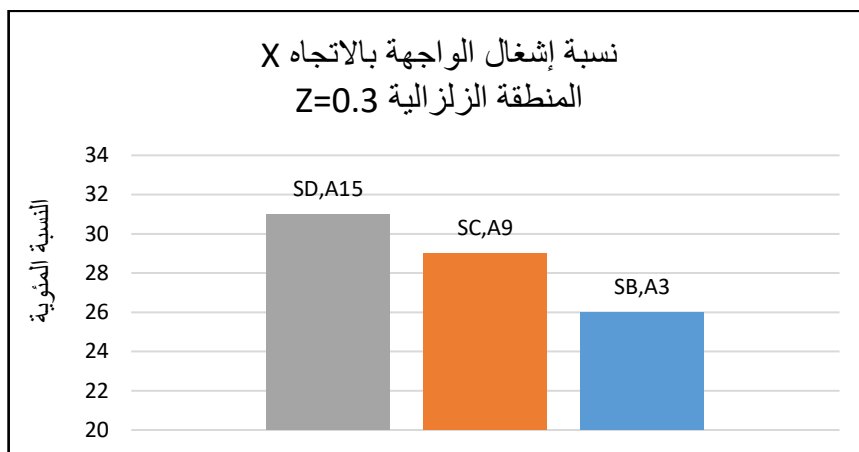
استناداً للدراسة الحاسوبية والمقارنة بين نتائج التحليل تم استنتاج ما يأتي:

- إن استخدام جدران القص في التدعيم يساهم وبنسبة كبيرة لخفض انتقالات المنشآت وبالتالي منع انهيار الأبنية والحد من الأضرار الناتجة عن الزلزال.
- إن تأثير التدعيم على النماذج المدروسة في الاتجاه القصير للبناء أكبر من تأثيره في الاتجاه الطويل، ويمكن تقسيم ذلك بانخفاض صلابة البناء في الاتجاه القصير.
- يتم تحقيق الجدران على أمرتين أساسين قوة القص، والانتقالات الكلية والإزاحات الطابقية النسبية وفي المسقط المدروس كانت الإزاحات الطابقية النسبية هي الحاكمة في اختيار طول الجدار.

قوة القص، الدور، الانتقالات:

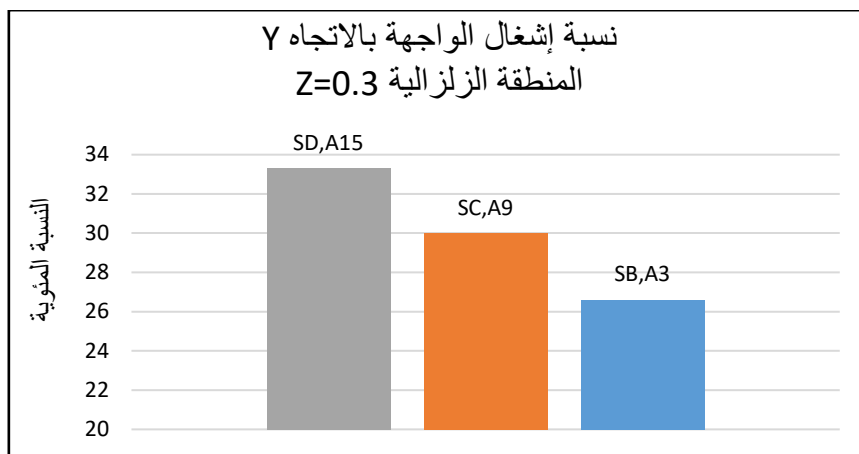
- ترداد قوة القص القاعدي في النماذج المدعمة بنسبة تتراوح من 11.5% إلى 13.6% عن النموذج الغير مدعم.
- تتحفظ قيمة الدور في الاتجاه X في النماذج المدعمة عن النماذج الغير مدعمة بنسبة تتراوح بين 50% إلى 60.5%.
- تتحفظ قيمة الدور في الاتجاه Y في النماذج المدعمة عن النماذج الغير مدعمة بنسبة تتراوح بين 74% إلى 81.6%.
- ترداد قيمة انخفاض الانتقالات في النماذج المدعمة في الاتجاه X بين 14% إلى 55.3% عن النماذج الغير مدعمة.
- ترداد قيمة انخفاض الانتقالات في النماذج المدعمة في الاتجاه Y بين 69.7% إلى 80.6% عن النماذج الغير مدعمة.

■ مقارنة نسبة إشغال الواجهة (طول جدار القص) للمجموعة الأولى من النماذج:



(X): مقارنة نسبة إشغال الواجهة بالاتجاه 7 الشكل رقم (

- نلاحظ أنه زادت نسبة إشغال الواجهة في النموذج A9 ذو التربة SC بنسبة 3% عن النموذج A3 ذو التربة SB.
- نلاحظ أنه زادت نسبة إشغال الواجهة في النموذج A15 ذو التربة SD بنسبة 2% عن النموذج A9 ذو التربة SC و5% عن النموذج A3 ذو التربة SB.



الشكل رقم (8): مقارنة نسبة إشغال الواجهة بالاتجاه Y.

- نلاحظ أنه زادت نسبة إشغال الواجهة في النموذج A9 ذو التربة SC بنسبة 3.4 % عن النموذج A3 ذو التربة SB.
- نلاحظ أنه زادت نسبة إشغال الواجهة في النموذج A15 ذو التربة SD بنسبة 3.3 % عن النموذج A9 ذو التربة SC و 6.7% عن النموذج A3 ذو التربة SB.

8 - التوصيات:

- دراسة كيفية الربط بين الجملة المراد تدعيمها وجدران القص الجديدة.
- دراسة تأثير وجود فتحات ضمن جدران القص المستخدمة في التدعيم.
- دراسة تأثير شكل المسقط الأفقي وعدم انتظامه.
- دراسة الجدوى الاقتصادية لطريقة التدعيم.

المراجع:

- 1 - M. Y. Kaltakci, M. Ozturk, and M. H. Arslan (2010)"An experimental investigation for external RC shear wall Applications", Natural Hazards and Earth System Sciences.
- 2 - Josh LOMBARD, David T LAU, Jag L HUMAR, Simon FOO and M S CHEUNG"SEISMIC STRENGTHENING AND REPAIR OF REINFORCED CONCRETE SHEAR WALLS", 12WCEE2000
- 3- HASAN KAPLAN, SALIH YILMAZ , NIHAT CETINKAYA and ERGIN ATIMTAY (2011) " Seismic strengthening of RC structures with exterior shear walls" , Indian Academy of Sciences .
- 4 – Yuriko HATTORI, Yasutoshi YAMAMOTO, Tadaki KOH (2004)" SEISMIC STRENGTHENING METHOD WITH EXTERIOR CONCRETE MEMBER INCLUDED STEEL PLATE", 13th World Conference on Earthquake Engineering.
- 5 - C.A. Cruz-Noguez, D.T. Lau & E. Sherwood " Testing and Anchor System Performance of RC Shear Walls Repaired and Strengthened with Externally Bonded FRP Sheets" , 15WCEE 2012 .

6 - Chao-Hsun Huang , Min-Lang Lin and Wei-Hong Chen (2015) ,” Experimental Study on Seismic Retrofit of Reinforced Concrete Buildings using Combination of Column-Jacketing and Supplemental Beams” , International Conference on Architectural, Civil and Hydraulics Engineering (ICACHE 2015) .

7 - UBC 97 – Uniform Building Code 1997, International Conference of Building Officials, California FL.

8 - CSI Analysis Reference Manual for SAP2000®, ETABS®, SAFE® and CSi Bridge®. Berkeley, California, USA.

9- الكوسا ميادة، (2014) "مقارنة السلوك الزلزالي للإطارات البيتونية المسلحة المقواة بشبكات تربيط معدنية أو بإضافة جدران قص" ، مجلة جامعة البعث - المجلد 63- العدد 2 .
الكود العربي السوري لتصميم وتنفيذ المنشآت بالخرسانة المسلحة (الطبعة الرابعة 2012).